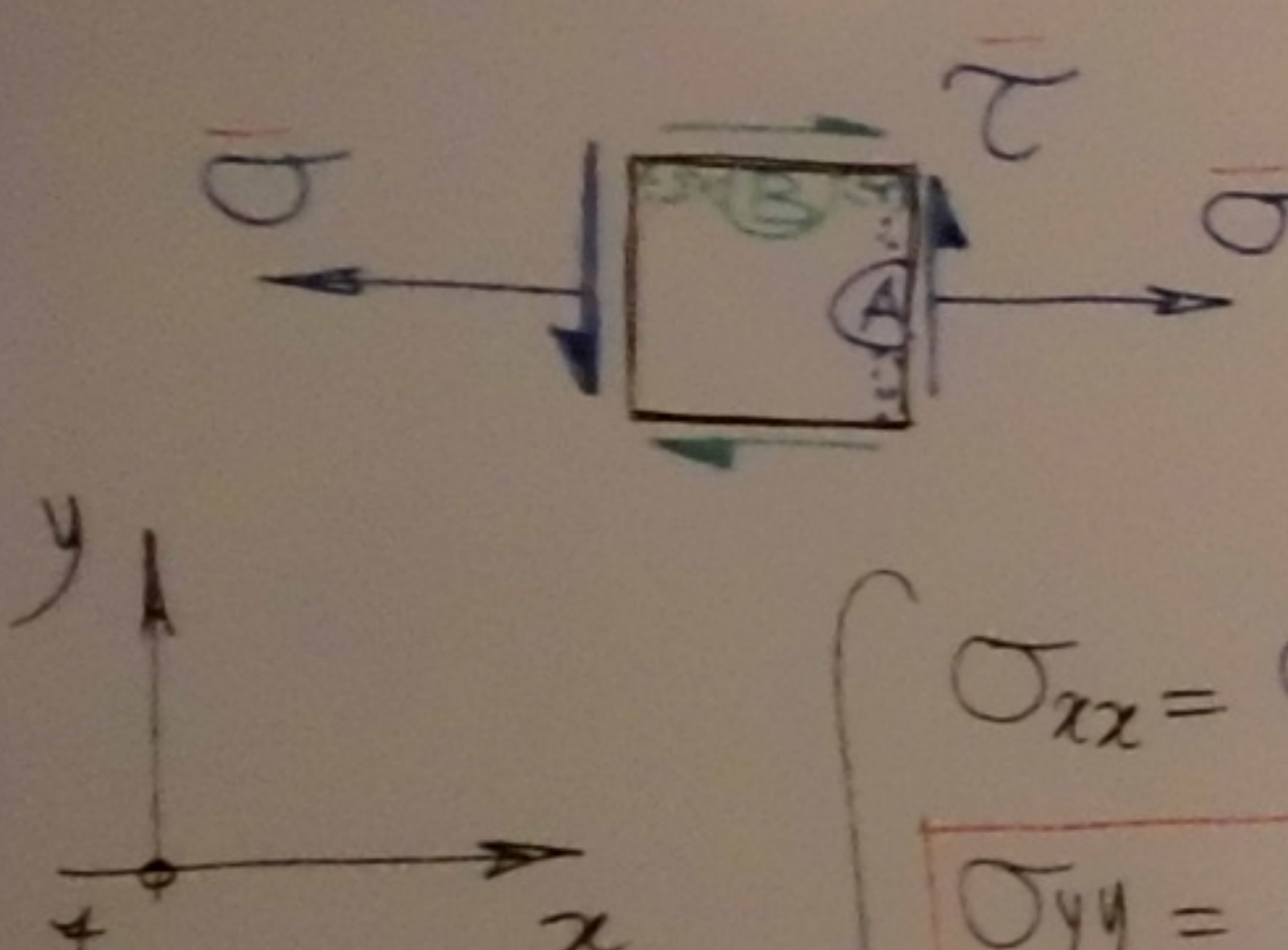


CM - Esempio

- Stato di sforzo alla de Saint Venant (DSV) \rightarrow particolare stato di sforzo piano con una comp. te di sforzo normale nulla



x

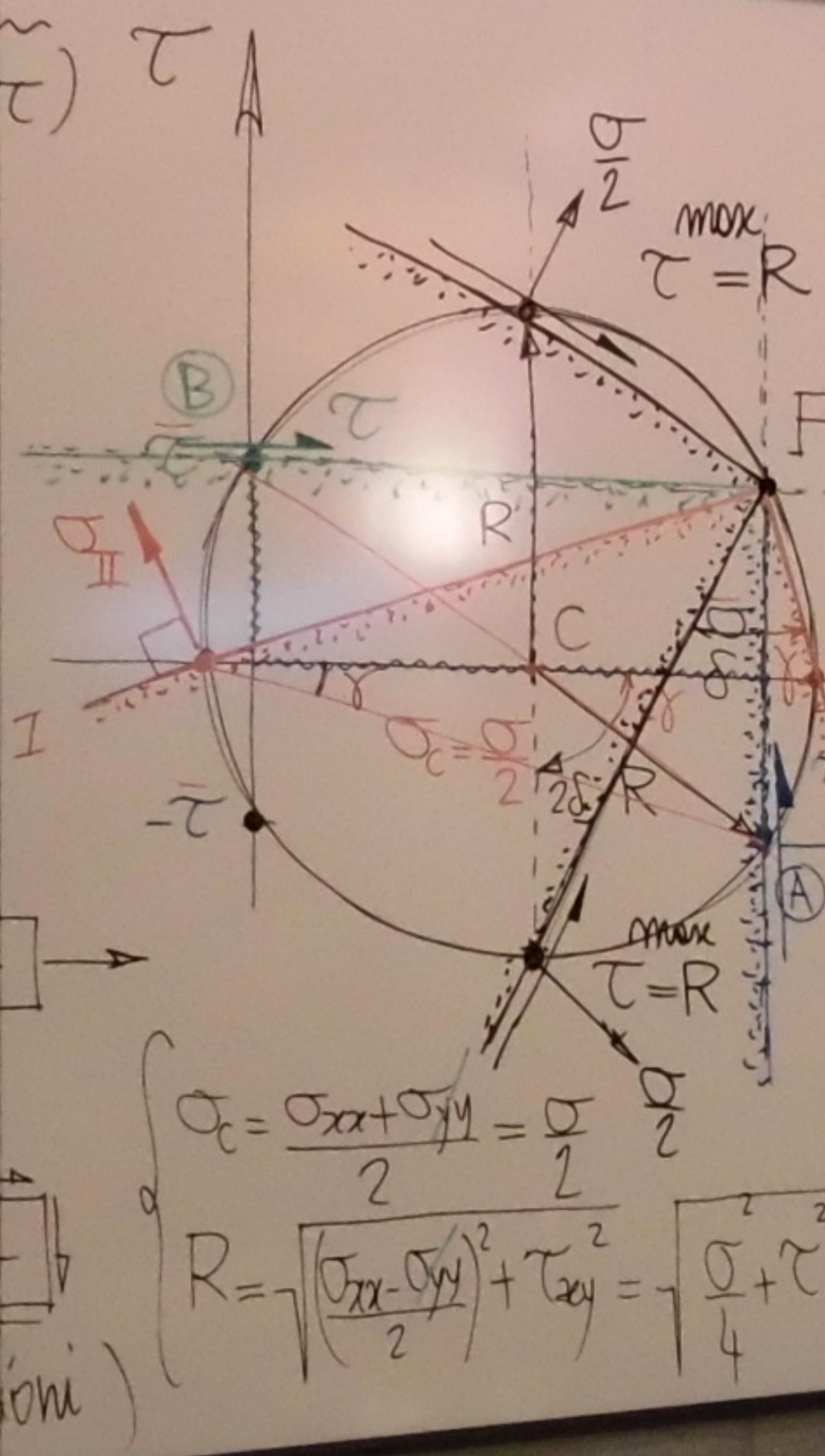
$$\begin{cases} \sigma_{xx} = \sigma \\ \sigma_{yy} = 0 \\ \tau_{xz} = \tau_{zx} = \tau_{yz} = 0 \\ (\text{sforzo piano}) \end{cases}$$

$$\begin{cases} \sigma_{yy} = 0 \\ \tau_{xy} = \tau \\ \tau_{yx} = \tau_{xy} = \tau \end{cases}$$

Piano di Mohr

(σ, τ)

T



(convenzioni)

+

+

+

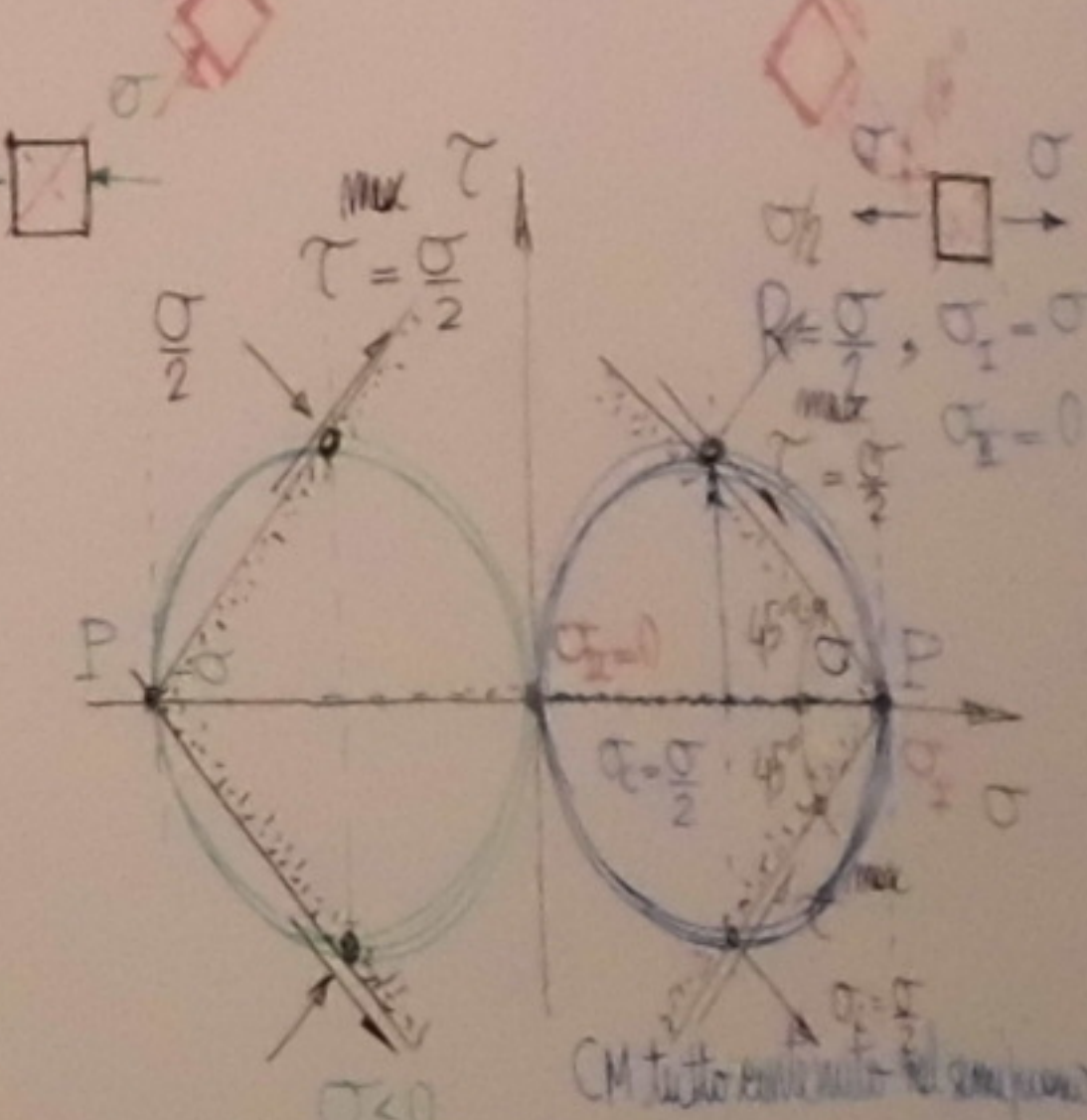
$$\begin{aligned} \text{Diraz. principali} \\ \tan 2\gamma &= \frac{\tau}{\frac{\sigma}{2}} \\ r &= \frac{1}{2} \sqrt{\sigma^2 + \tau^2} \end{aligned}$$

$$\begin{aligned} \sigma_{I,II} &= \sigma_c \pm R \\ &= \frac{\sigma}{2} \pm \sqrt{\frac{\sigma^2}{4} + \tau^2} \\ \text{N.B. (tens. princ. di signo)} \\ \sigma_I \cdot \sigma_{II} &= \sigma_c^2 - R^2 \\ &= \frac{\sigma^2}{4} - \frac{\sigma^2}{4} - \tau^2 \\ &= -\tau^2 \leq 0 \end{aligned}$$

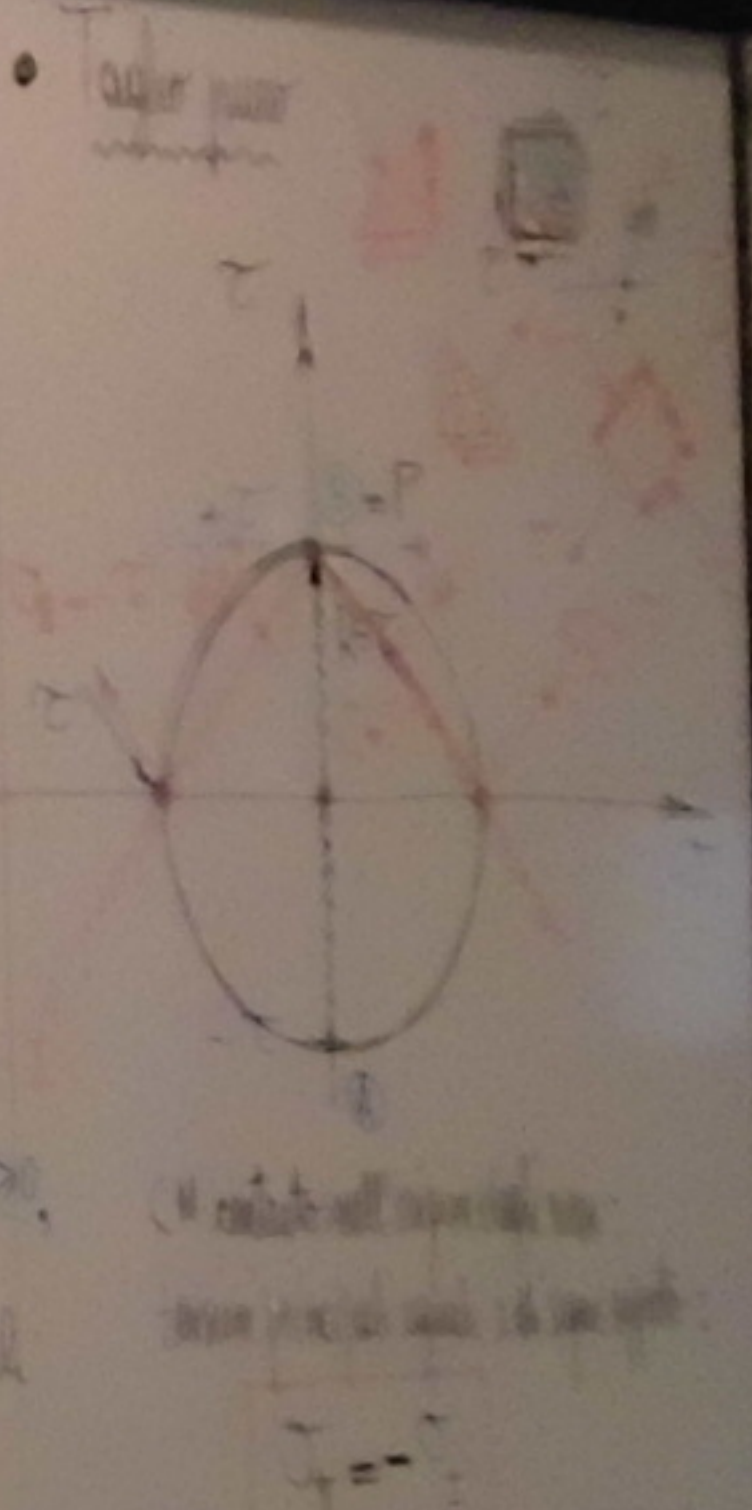
$$R = \sqrt{\left(\frac{\sigma_{xx} - \sigma_{yy}}{2}\right)^2 + \tau_{xy}^2} = \sqrt{\frac{\sigma^2}{4} + \tau^2} = \frac{1}{2}\sqrt{\sigma^2 + 4\tau^2}$$

Diraz. γ_{max} : $\gamma = \frac{\pi}{4}$

• Trazione / compressione monaziale



• Implicazioni nell'ambito della resistenza dei materiali
(es. non resistente a trazione \rightarrow SO CM con $\sigma > 0$)



$\gamma = \frac{\pi}{4}$



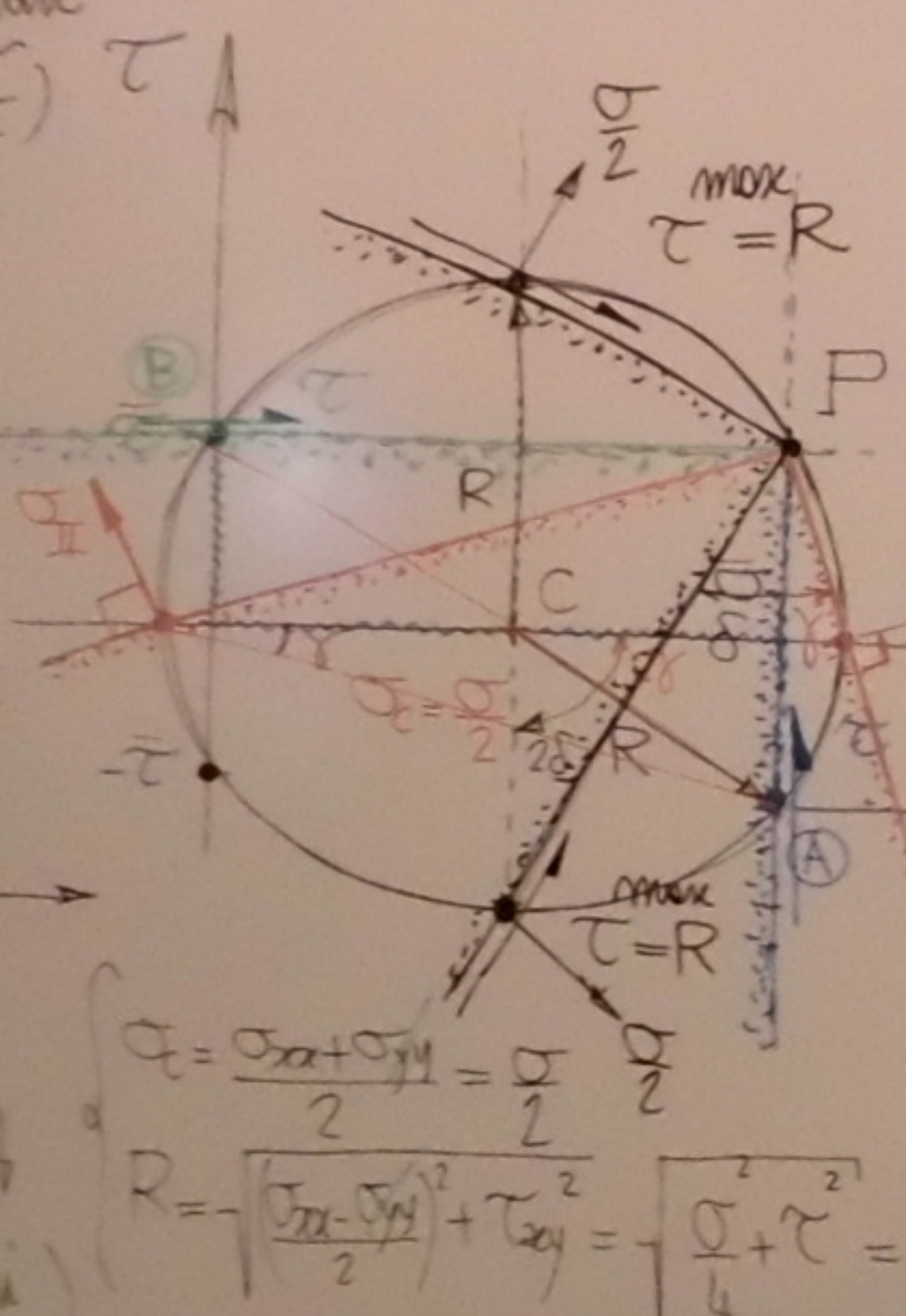
CM - Esercizi

- Stato di spazio alla de Saint Venant (DSV) = particolare stato di spazio piano con una componente di spazio normale nulla

$$\begin{cases} \sigma_{xx} = \sigma \\ \sigma_{yy} = 0 \\ \tau_{xy} = \tau \\ \tau_{yx} = \tau_{xy} = \tau \end{cases}$$

sotto punto

Piano di Mohr



$$\tan 2\theta = \frac{\tau}{\frac{\sigma}{2}}$$

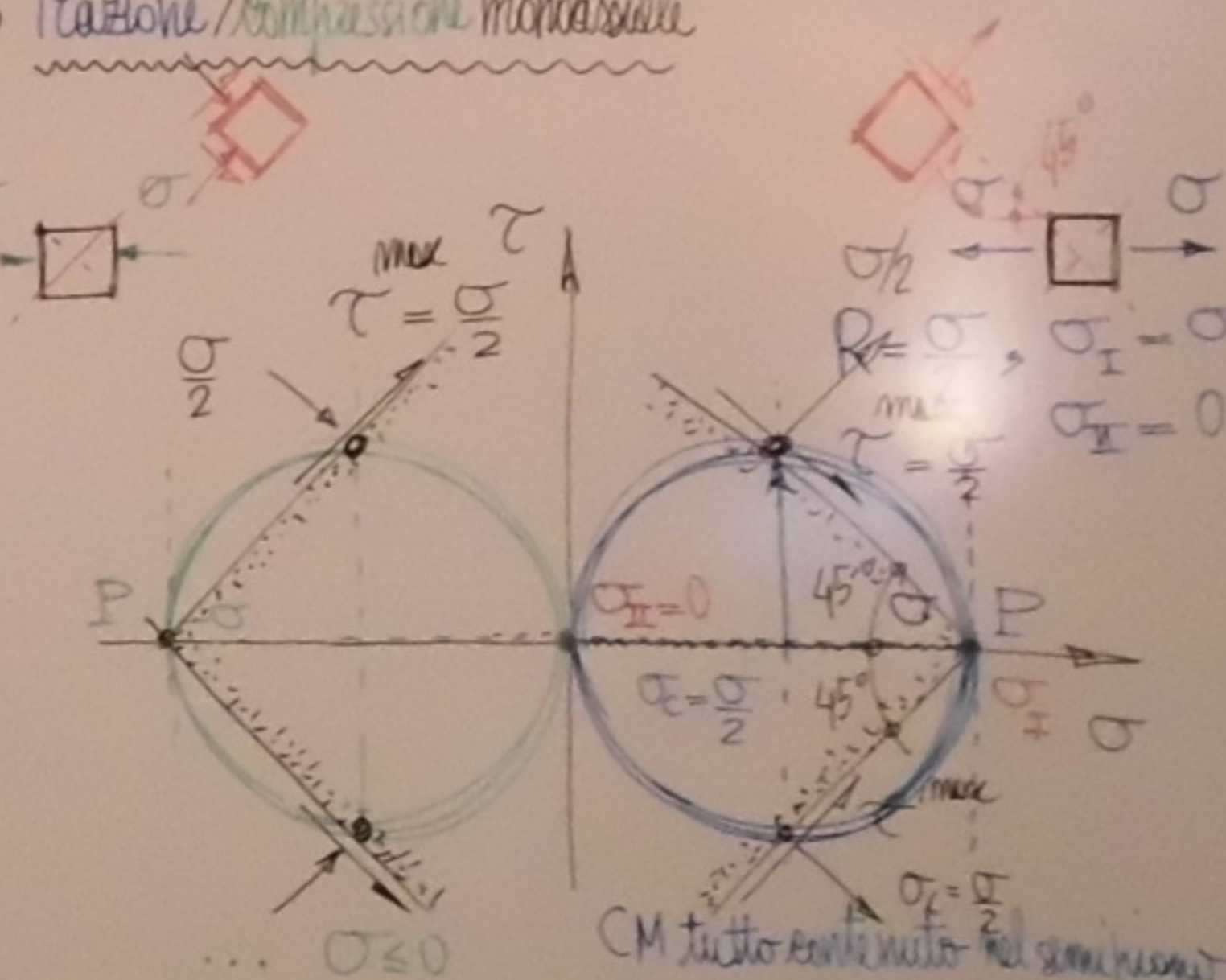
$$R = \frac{1}{2} \sqrt{\sigma^2 + 4\tau^2}$$

$$\begin{aligned} \sigma_I, \sigma_{II} &= \sigma_c \pm R \\ &= \frac{\sigma}{2} \pm \sqrt{\frac{\sigma^2}{4} + \tau^2} \\ \text{NB (trans. princ. di signo)} \quad \sigma_I \cdot \sigma_{II} &= \sigma_c^2 - R^2 \text{ opposto} \\ &= \frac{\sigma^2}{4} - \frac{\sigma^2}{4} - \tau^2 \\ &= -\tau^2 \leq 0 \end{aligned}$$

$$R = \sqrt{\left(\frac{\sigma_{xx} - \sigma_{yy}}{2}\right)^2 + \tau_{xy}^2} = \sqrt{\frac{\sigma^2}{4} + \tau^2} = \frac{1}{2}\sqrt{\sigma^2 + 4\tau^2}$$

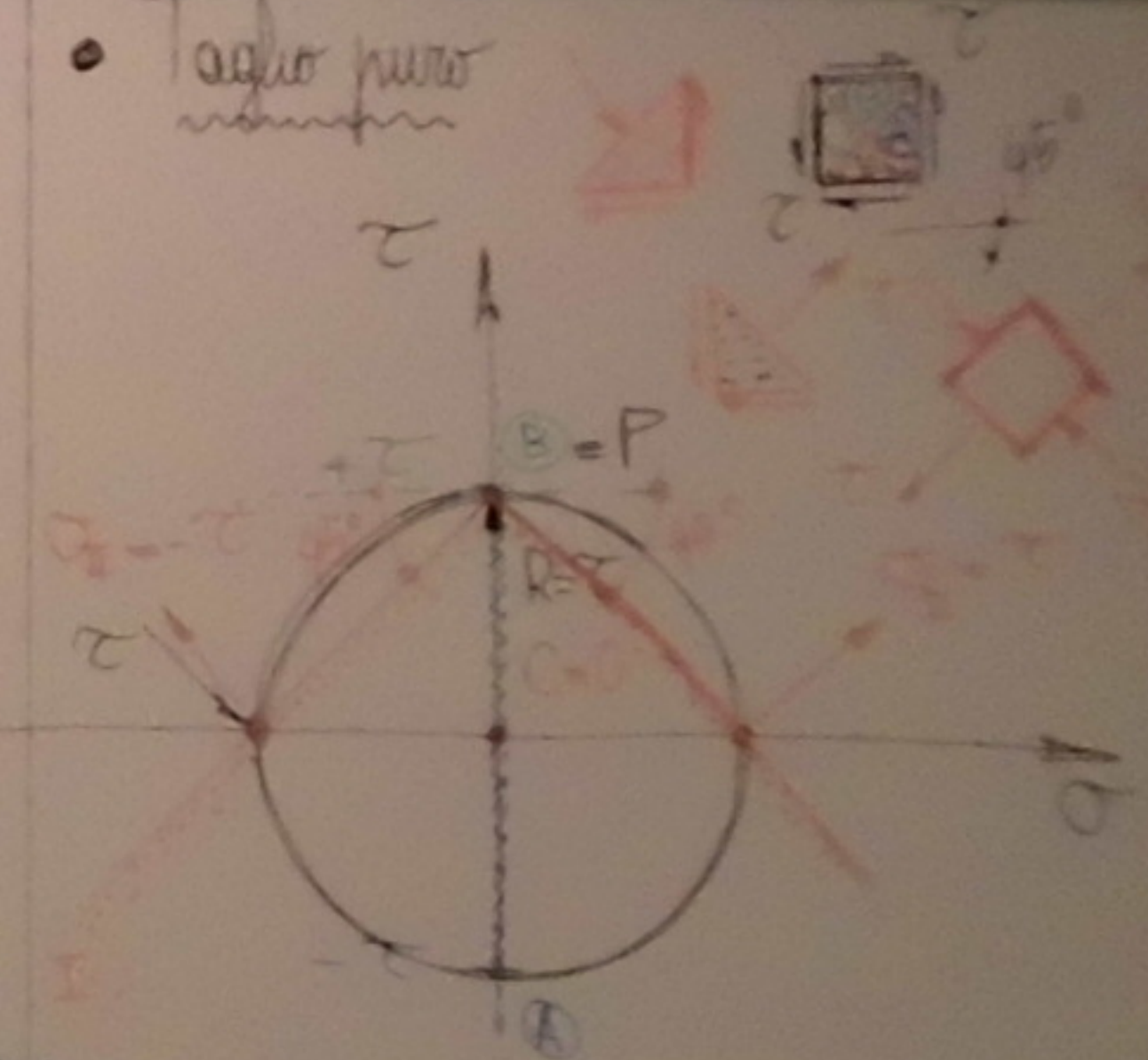
Dir. con τ_{max} : $\delta = \frac{\pi}{4} - \theta$

- Trazione/compressione monassiale



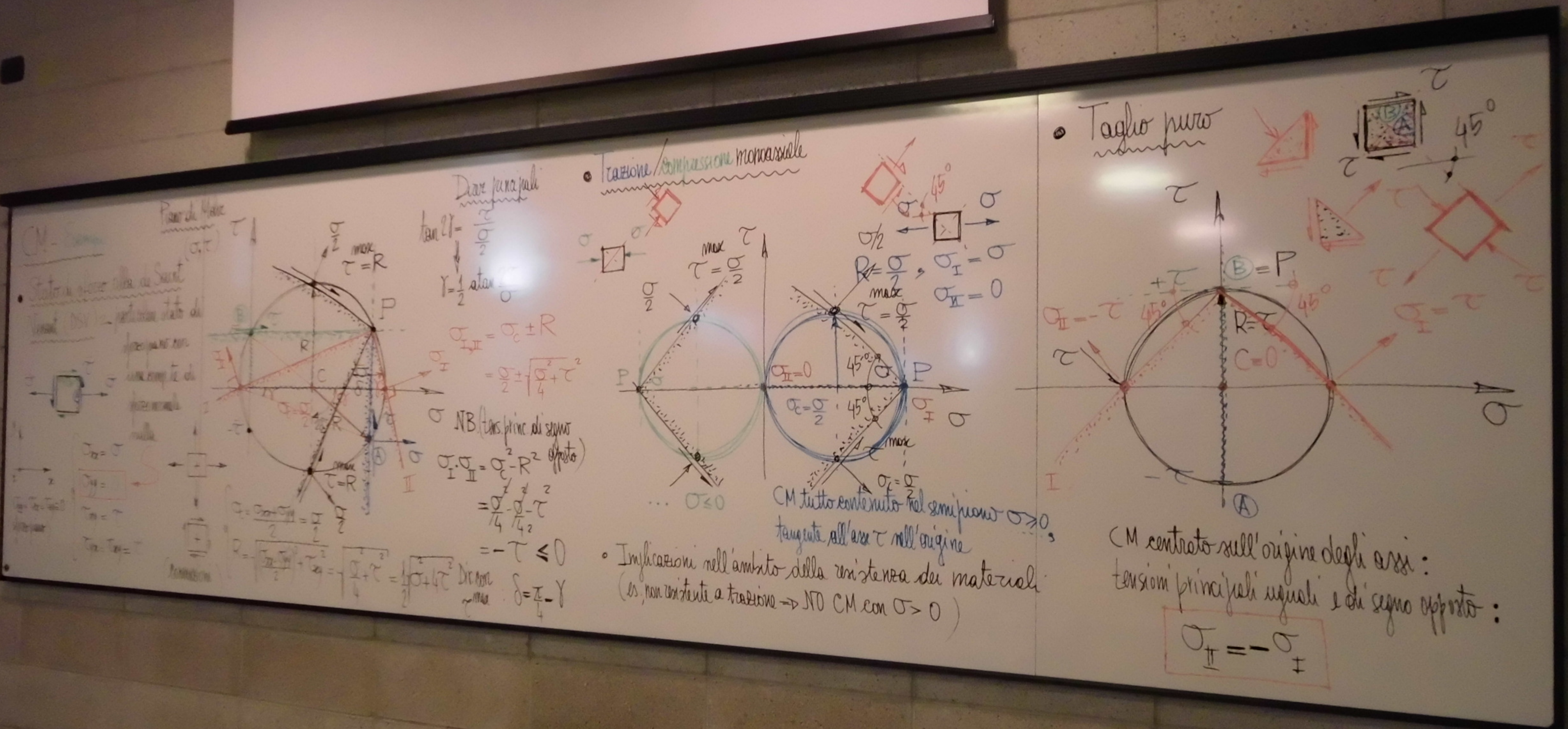
- Implicazioni nell'ambito della resistenza dei materiali
(es. non resistente a trazione \Rightarrow NO CM con $\sigma > 0$)

- Taglio puro

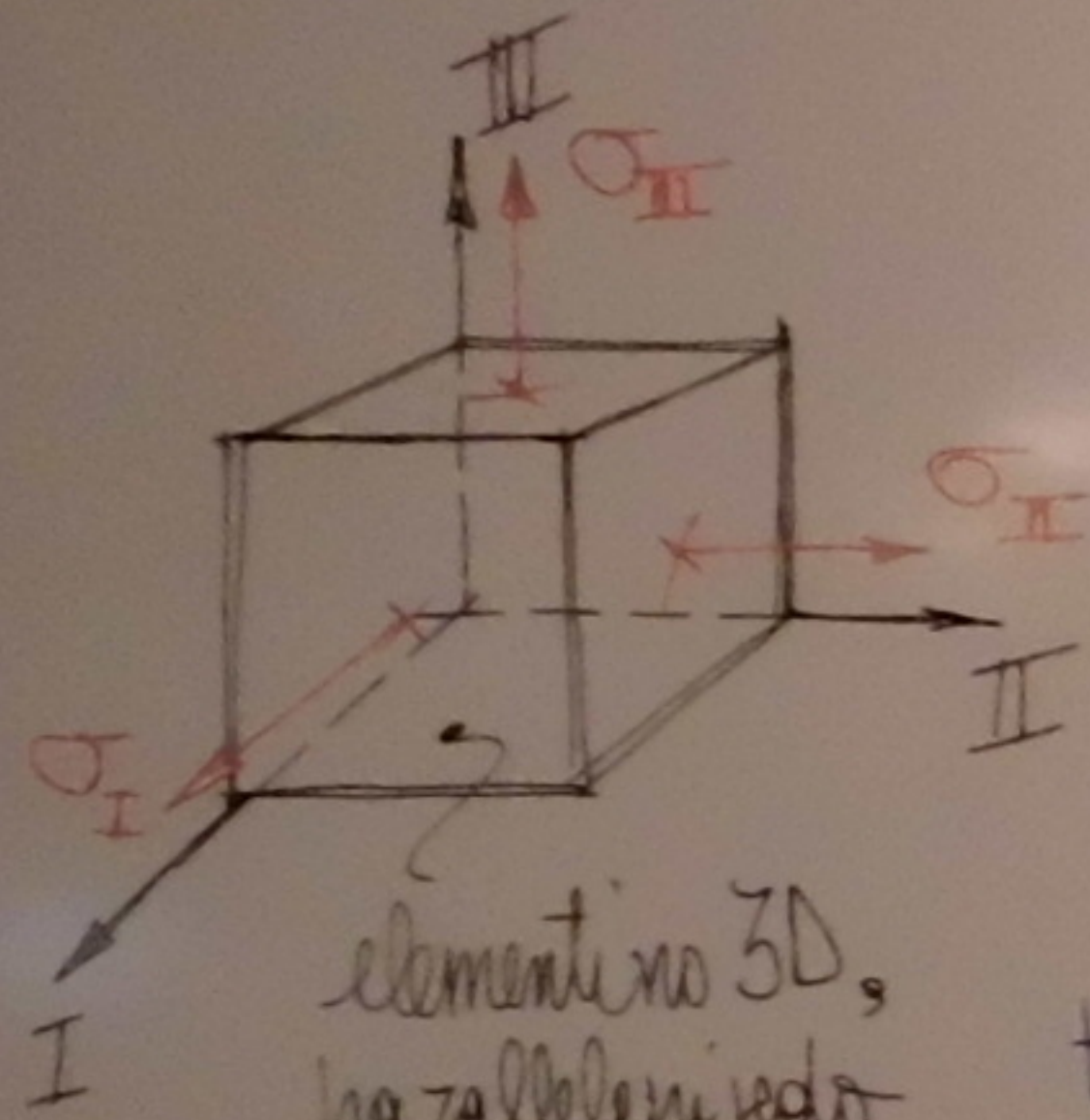


CM centrato sull'origine degli assi:
tensione principale uguale a di segno opposto:

$$\sigma_I = -\sigma_{II}$$



Cerchi e Arbelo di Mohr



I elementi in 3D,
ha zollelepijedo
ritagliato secondo le
tecniche principale

$$[\sigma] = \begin{bmatrix} \sigma_I \\ \sigma_{II} \\ \sigma_{III} \end{bmatrix}$$

$$t_n = \sigma_n + \tau_n$$

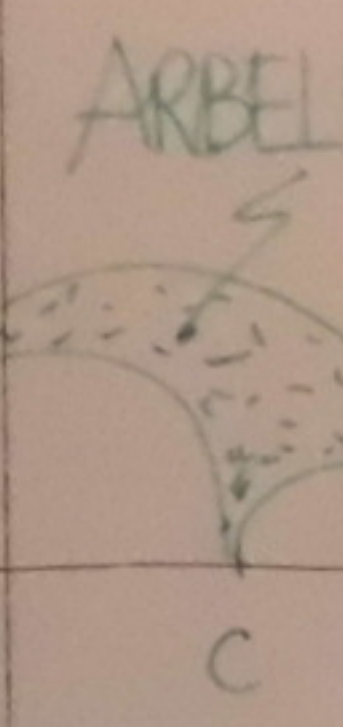
$$t_n^2 = \sigma_n^2 + \tau_n^2$$

$$\tau = t_n - \sigma_n$$

↓

τ definite I
in modulo

in 3D ($\tau > 0$)



Spores 3"

$$\sigma_I \geq \sigma_{II} \geq \sigma_M$$

$$t_n = \sigma_n + \tau_n$$

$$t_n^2 = \sigma_n^2 + \tau_n^2$$

$$\tau_n^2 = t_n^2 - \sigma_n^2$$

$$t_n = \sigma_n + \tau_n$$

$$t_n^2 = \sigma_n^2 + \tau_n^2$$

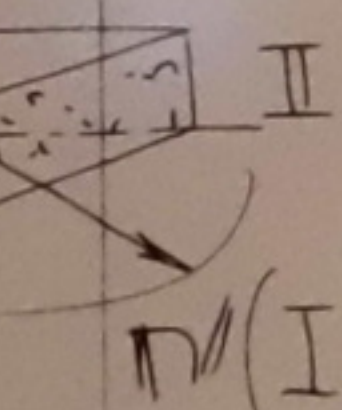
$$\tau_n^2 = t_n^2 - \sigma_n^2$$


W
Y

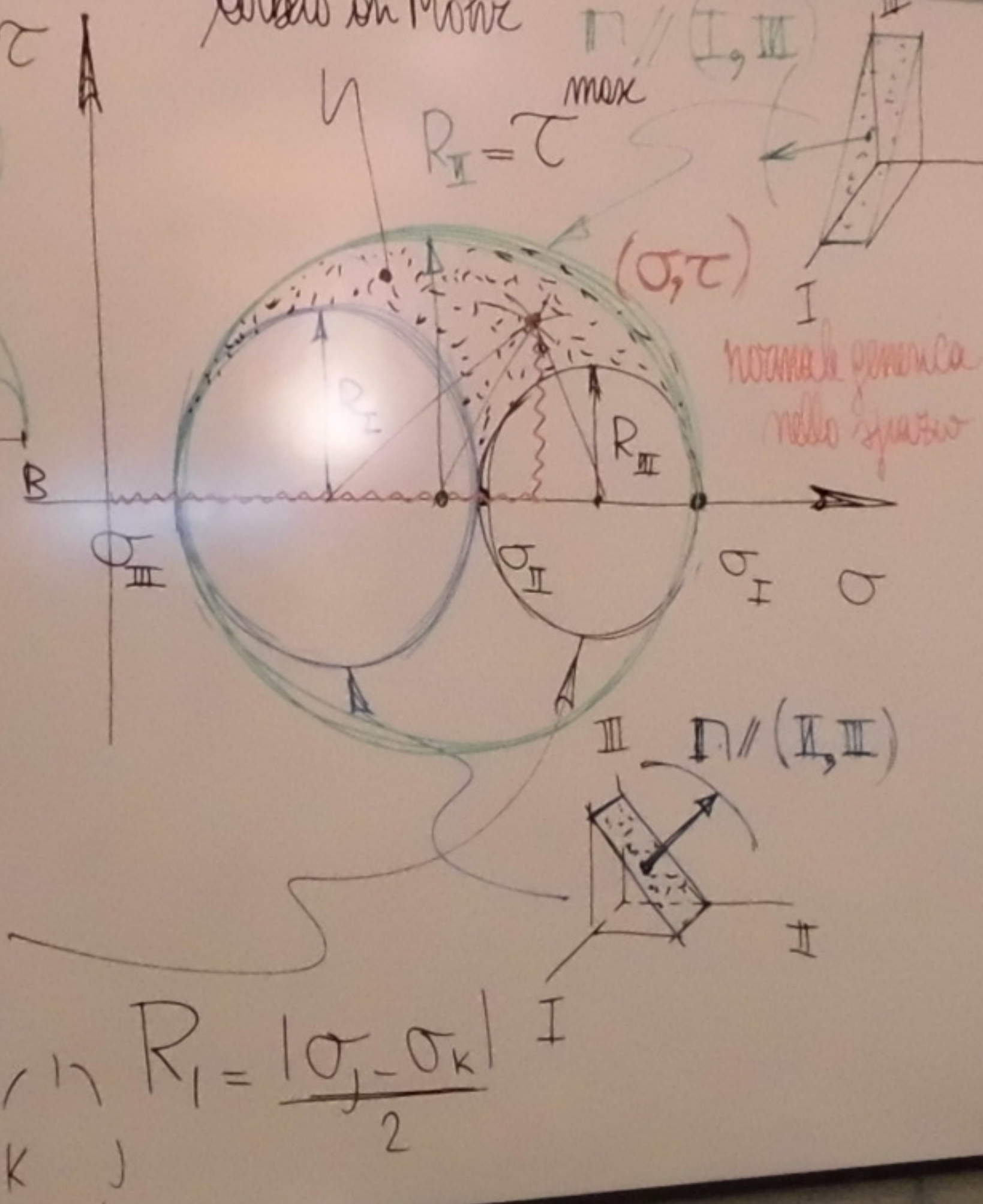
Tdakute
Jinmodu

TOKUMI
KODOMO

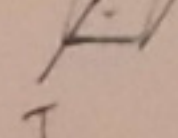
無限多維
及 3D ($T > 0$)



\nparallel (I, II)



arbo di Moh

(σ, τ) 
normale generale
nello spazio

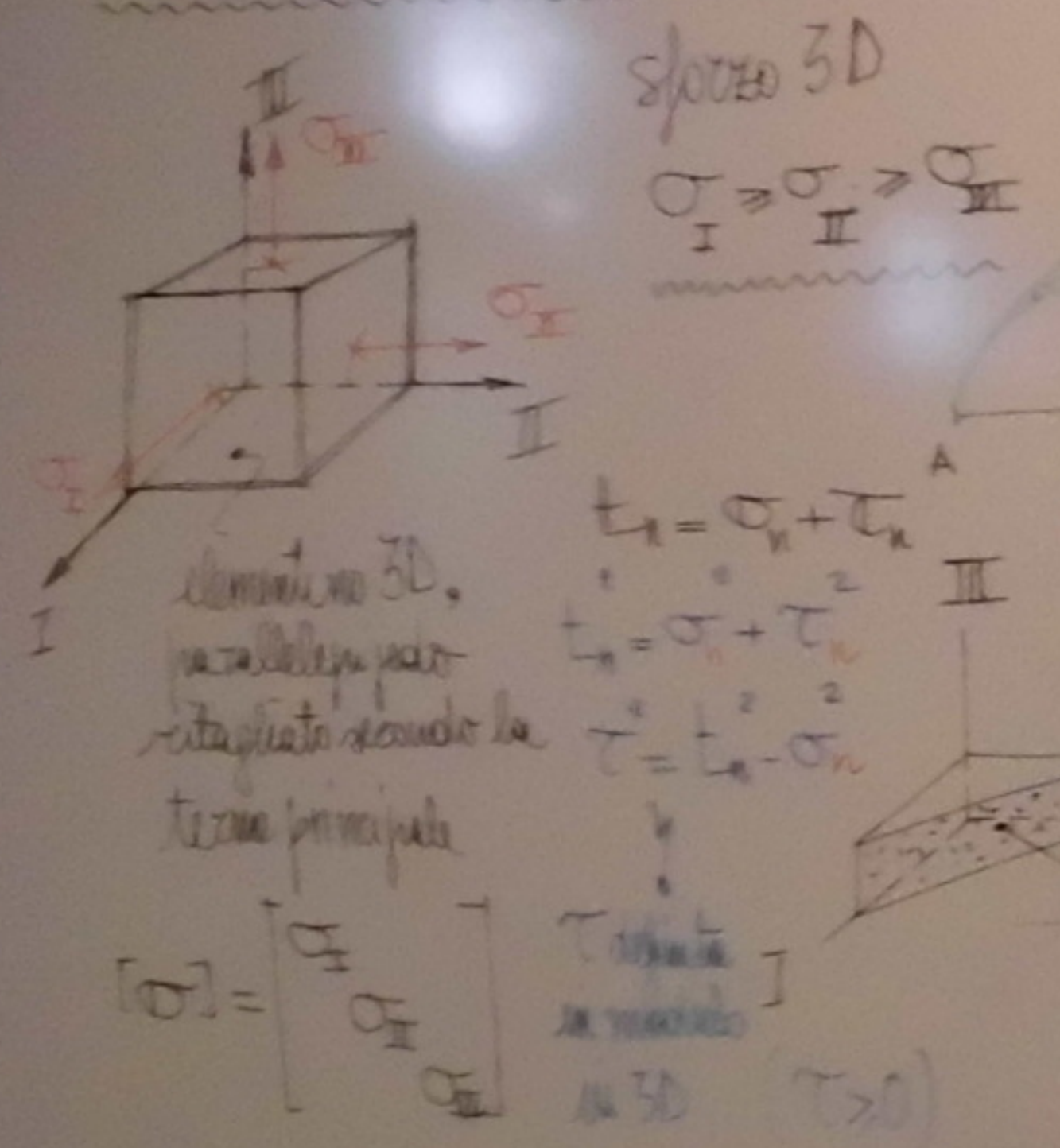
Rentabilità del materiale

- $T = \max R_i$ • Per stato di deformazione ($\sigma_I = T$)
 (raggio dCM più grande) T \uparrow \max
 $\sigma = \sigma_I, \sigma = \sigma_{III}$ T ~~min~~
 (r. CM più grande)

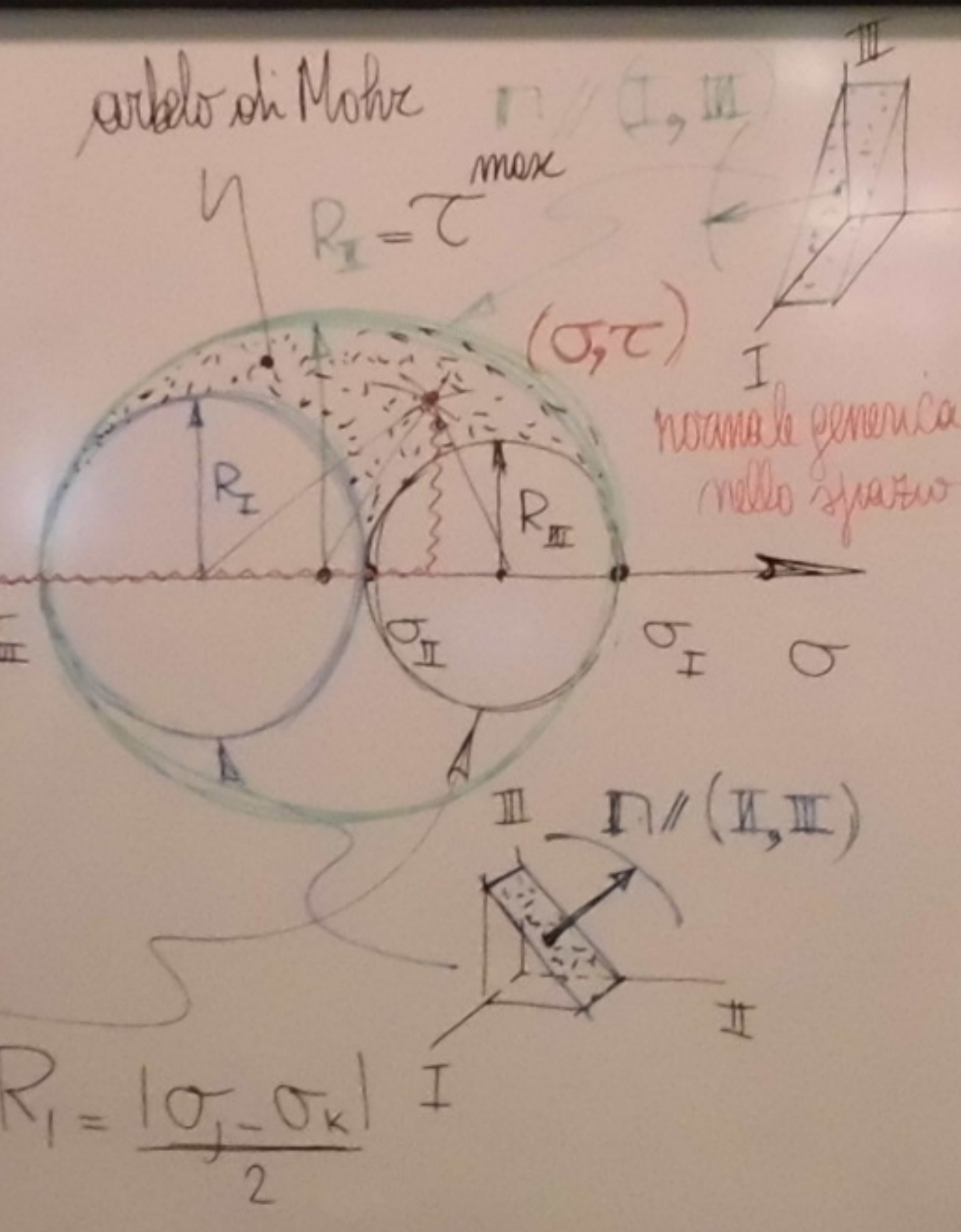
il CM più grande rappresenta
l'entità dello stato di
forza ai fini della
ristruttura del nucleo

tension principal nel punto di
nodo opposto $\sigma_2 \cdot \sigma_1 \leq 0$

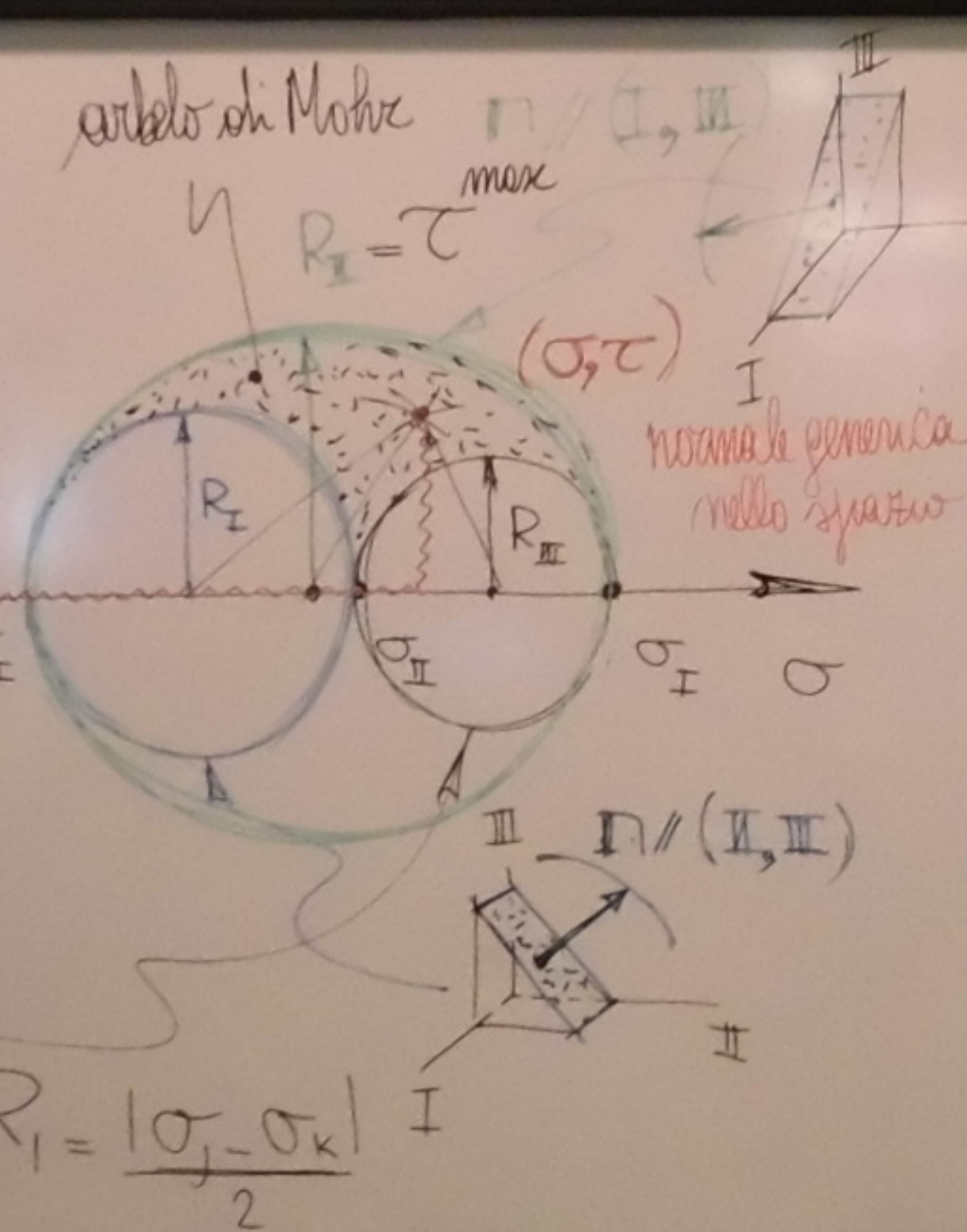
Cerchi e Arco di Mohr



ARCO



arco di Mohr



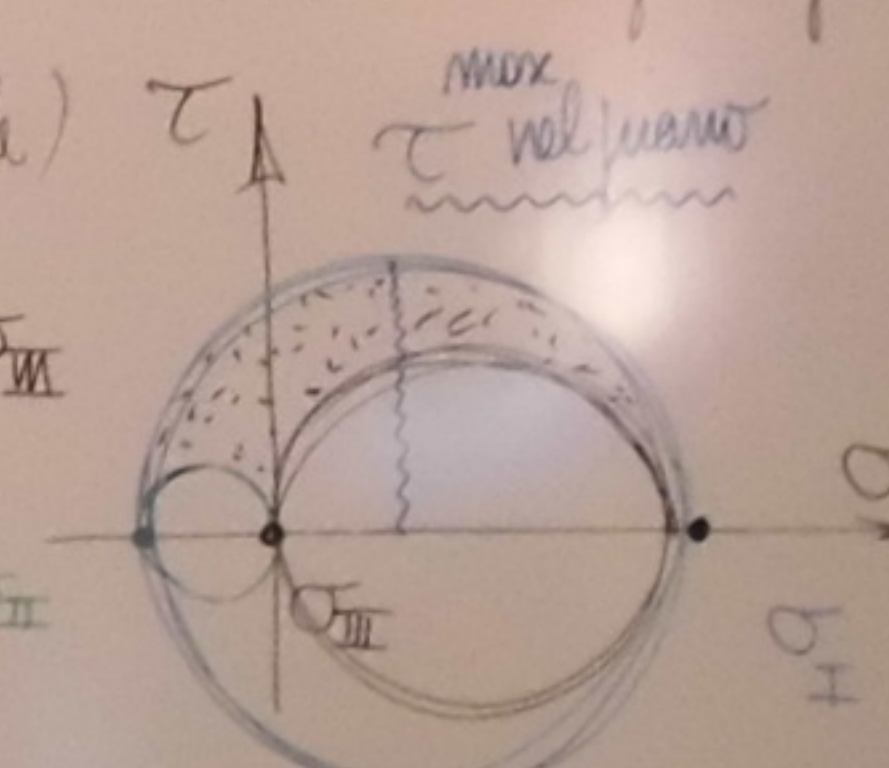
$$R_1 = \frac{|\sigma_I - \sigma_{III}|}{2}$$

Resistenza del materiale

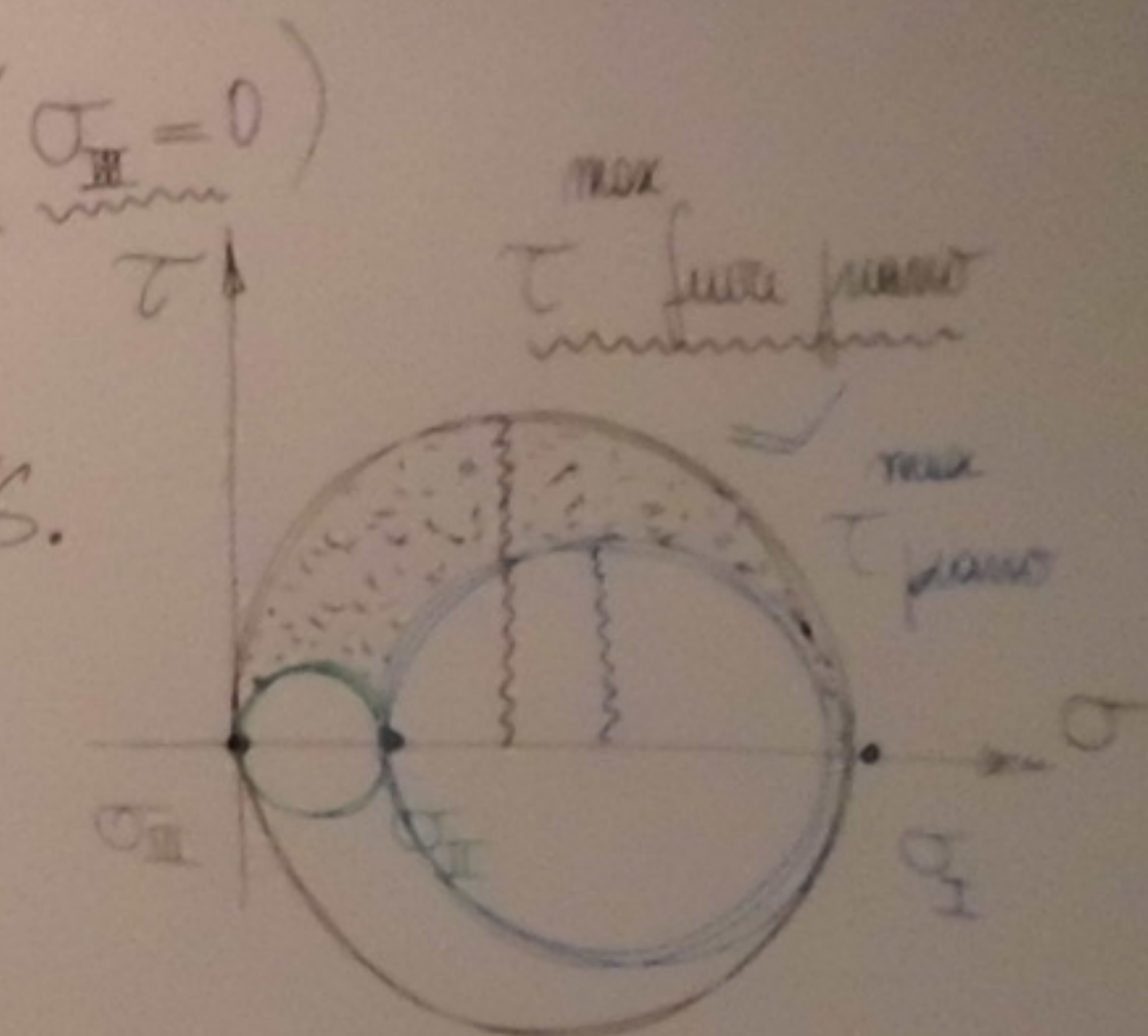
- $\tau = \max R_1$
(raggio del CM più grande)
- $\sigma = \sigma_I, \min \sigma = \sigma_{III}$
(su CM più grande)

il CM più grande rappresenta l'entità dello stato di tensioni principali nel piano di segno esposto $\sigma_I \cdot \sigma_{II} < 0$

Per stato di forza piano ($\sigma_{III} = 0$)

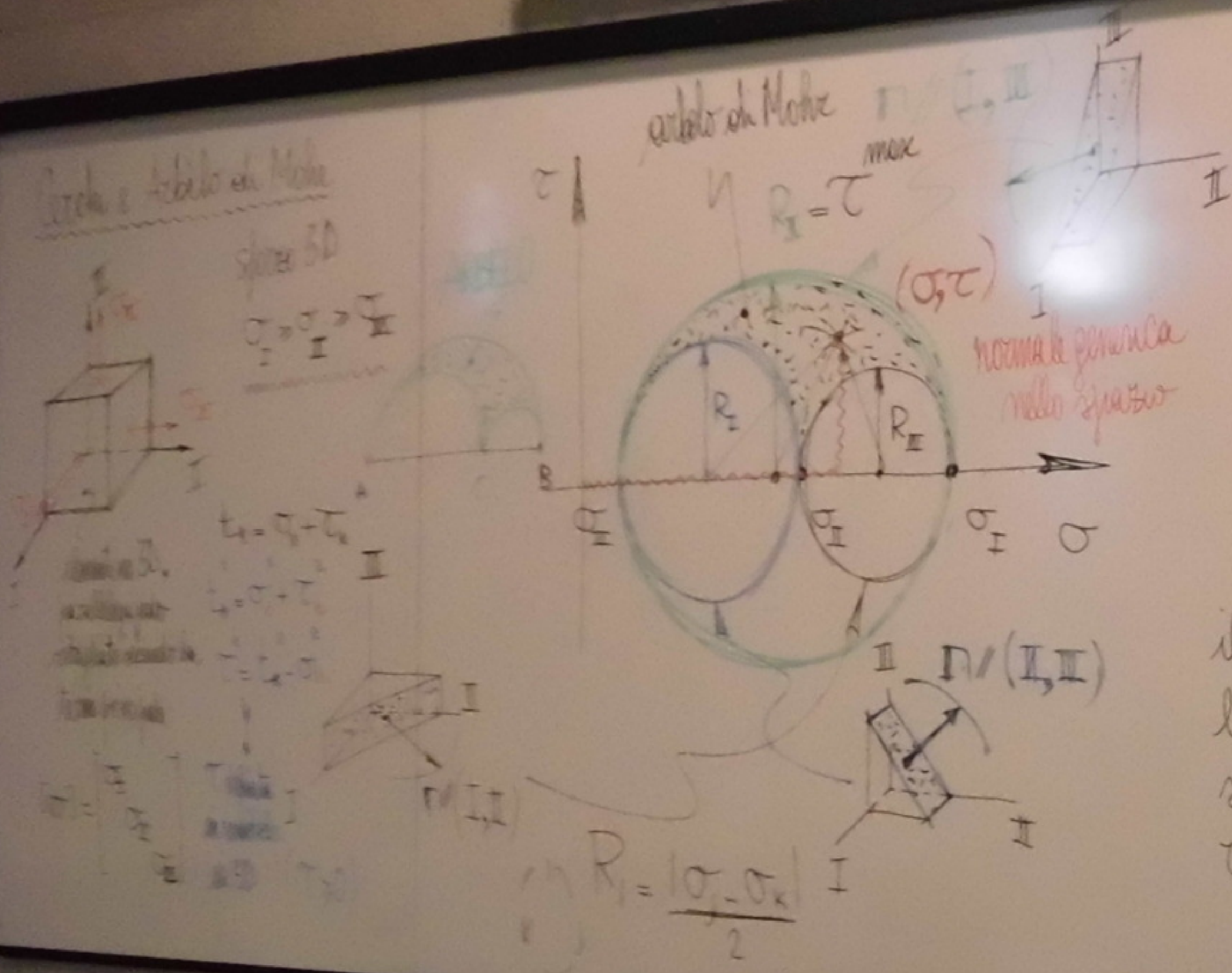


VS.



tensioni principali nel piano della retta neutra $\sigma_I \cdot \sigma_{II} \geq 0$

Lisiel



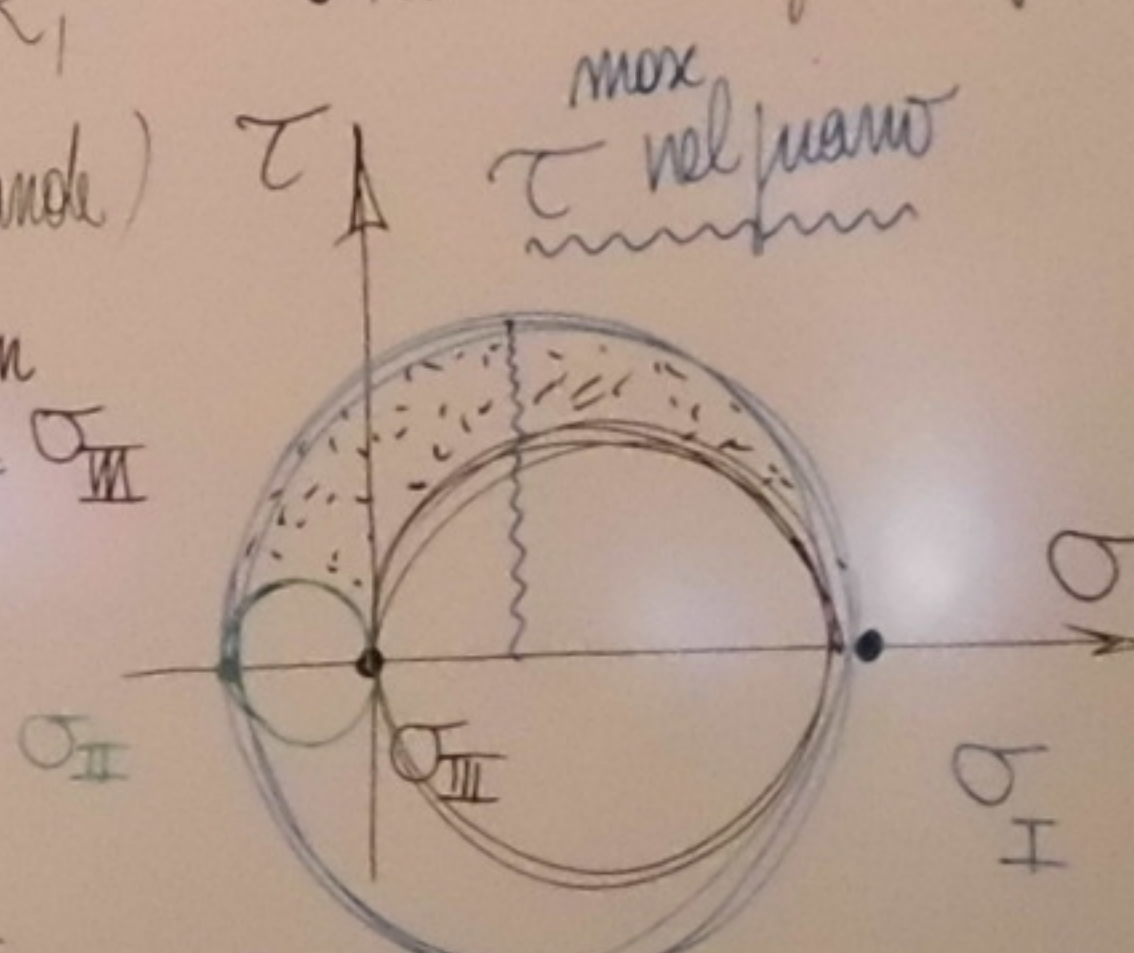
Resistenza dei materiali

- $\tau = \max R_1$
 (raggio del CM più grande)
 - $\sigma = \sigma_I^{\max}, \sigma = \sigma_{III}^{\min}$
 (su CM più grande)

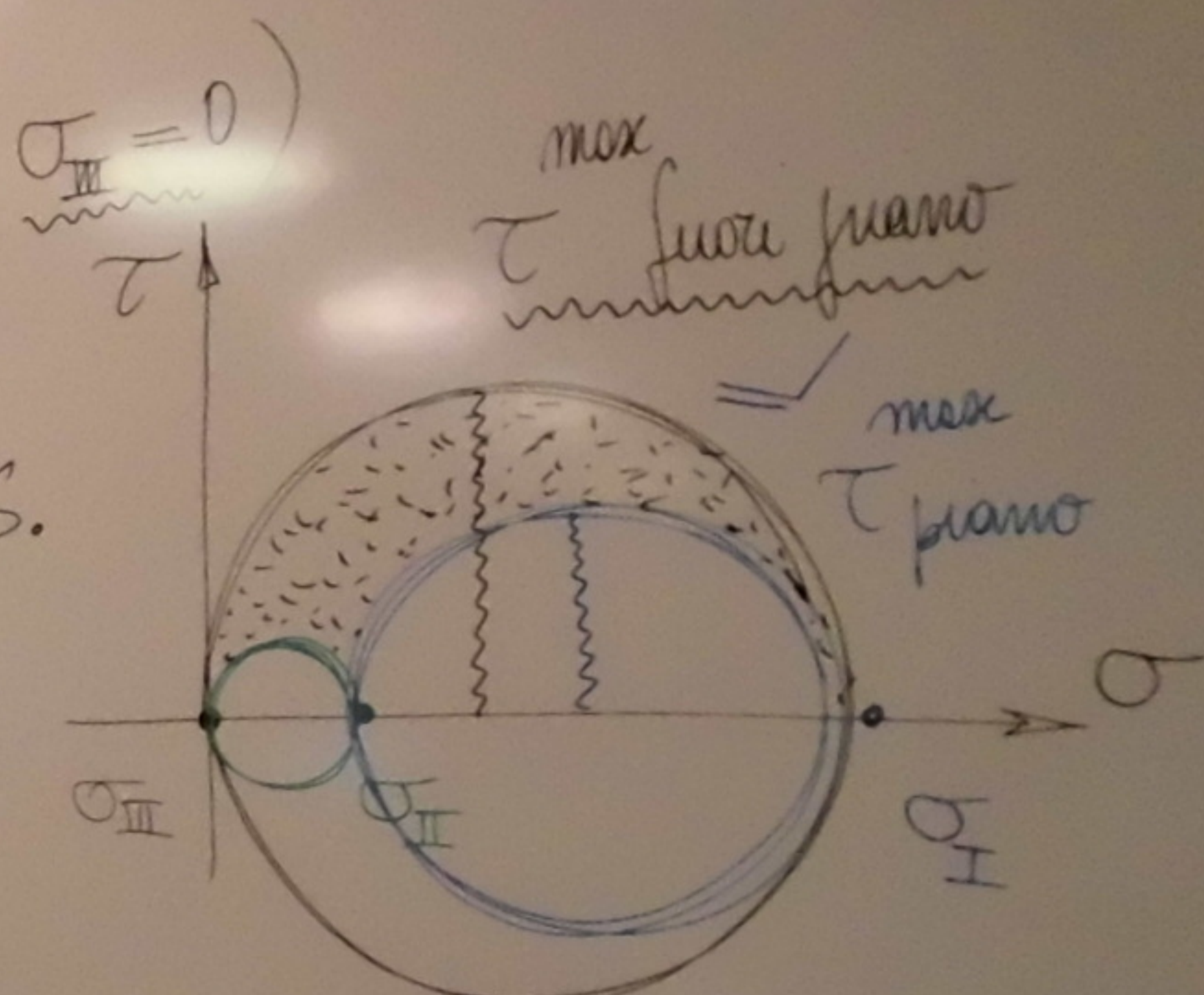
il CM più grande rappresenta l'entità dello stato di sposo ai fini delle esistenze del materiale

tensioni principali nel piano di
sglono opposto $\sigma_I \cdot \sigma_{II} \leq 0$
(come per sglone alla DSV)

• Per stato di sforzo pieno ($\sigma_{III} = 0$)



15



tensioni principali nel piano dello stesso segno $\sigma_1 \cdot \sigma_4 \geq 0$